

Модель позволяет воспроизводить на ЭВМ основные режимы процесса движения из условия обеспечения максимальной производительности и торможения, а также выполнять расчеты нагрузочных режимов трансмиссии. На рис. 3 приведены примеры расчета процесса разгона колесного трелевочного трактора  $4 \times 4$  при трелевке пачки деревьев в полупогруженном (а) и погруженном (б) положениях. Сравнительный анализ полученных данных подтверждает преимущества второго способа. Работа буксования уменьшается в среднем на 10 %, максимальные значения моментов в трансмиссии — на 24 %, время и путь разгона — соответственно на 14 и 11 %, полезная нагрузка на рейс возрастает в 1,5 раза.

#### СПИСОК ЛИТЕРАТУРЫ

[1]. Безбородова Г. Б., Галушко В. Г. Моделирование движения автомобиля.— Киев: Выща шк., 1978.— 168 с. [2]. Гришкевич А. И. Автомобили. Теория: Учеб. для вузов.— Мн.: Вышэйш. шк., 1986.— 208 с. [3]. Кутьков Г. М. Тяговая динамика трактора.— М.: Машиностроение, 1980.— 215 с. [4]. Проектирование трансмиссий автомобилей: Справочник / Под ред. А. И. Гришкевича.— М.: Машиностроение, 1984.— 272 с. [5]. Цитович И. С., Альгин В. Б. Динамика автомобиля.— Мн.: Наука и техника, 1981.— 191 с.

Поступила 31 октября 1990 г.

УДК 624.275.001.24

### МЕТОД РАСЧЕТА МОСТОВЫХ КЛЕЕННЫХ ДЕРЕВЯННЫХ БАЛОК, РАБОТАЮЩИХ СОВМЕСТНО С ЖЕЛЕЗОБЕТОННОЙ ПЛИТОЙ

В. П. СТУКОВ

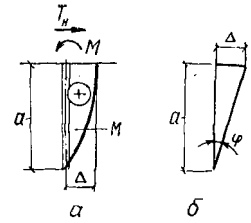
Архангельский лесотехнический институт

Сокращение, а в будущем и повсеместный отказ от молевого лесосплава приведут к максимальному использованию автотранспорта, что, в свою очередь, потребует расширения строительства лесовозных дорог, мостов и различных транспортных сооружений.

В условиях Северо-Западного региона страны при наличии соответствующей производственной базы целесообразно применять мостовые балки из клееной древесины. Экспериментальные исследования [1, 3] и практика мостостроения показывают, что для повышения капитальности и сроков службы транспортного сооружения следует использовать комбинированные сечения, в которых клееная деревянная балка соединена с железобетонной плитой. В силу конструктивных особенностей таких сечений связь между ребром балки и плитой можно рассматривать как упругоподатливую. Эта связь обуславливает сдвиг по плоскости контакта и перераспределение напряжений в частях сечения балки. Исследования, в том числе наши, показывают, что в балках комбинированного сечения с такими связями под нагрузкой имеют место деформации отрыва плиты от ребра и горизонтальный сдвиг в плоскости их контакта.

В балках комбинированного сечения широко распространены нагельные соединения ребра и плиты. Согласно рис. 1, а нагель рассматривается как балка, лежащая на упругом основании и нагруженная на конце сдвигающей силой  $T_n$  и неизвестным изгибающим моментом  $M$  [6]. Линейные деформации сдвига  $\Delta$  складываются из упругих деформаций бетона плиты, древесины ребра и деформаций обмятия древесины. Деформации сдвига, соответствующие расчетному значению несущей способности связи [3, 4], зависят от типа связующего элемента.

Рис. 1. Нагельное соединение:  
 а — расчетная схема; б — схема деформаций



Эпюра реактивного давления упругого основания (древесины) тем ближе к треугольной, чем жестче нагель (рис. 2,б).

Угол поворота нагеля  $\varphi$  относительно нулевой точки моментов, т. е. его конца, в силу малости может быть определен по формуле

$$\varphi = \operatorname{tg} \varphi = \Delta / (a m_0 [t]), \quad (1)$$

где  $a$  — глубина заделки нагеля в древесину балки;  
 $m_0$  — число связей на единицу длины шва;  
 $[t]$  — расчетная несущая жесткость связи.

Напряженно-деформированное состояние связи аналогично подобному состоянию упругоповорачивающейся опоры, развивающей реактивный момент, пропорциональный жесткости на кручение и углу поворота. Жесткость на кручение  $\mu$  может быть определена по формуле

$$\mu = -1/\varphi = a m_0 [t] / \Delta, \quad (2)$$

где  $\varphi$  — угол поворота (закручивания) нагеля при  $M = 1 \text{ кН} \cdot \text{м}$ .

В работе [2] автор отмечает, что силы трения между ребром и плитой влияют на податливость соединения только в начальный период при сдвигающей силе, составляющей 20...25 % от расчетного значения. При расчетном сдвигающем усилии перемещения связи с учетом и без учета трения различаются на 4,0...4,7 %. Уменьшение, а затем исчезновение влияния сил трения объясняются весьма значительными деформациями отрыва между ребром и плитой. В диапазоне эксплуатационных нагрузок (и в предельном состоянии) между ребром и плитой существуют только упругоподатливые связи.

В расчетах балки комбинированного сечения можно выделить два этапа:

1) рассчитывают балку комбинированного сечения как неразрезную многопролетную балку на упругоповорачивающихся опорах, которыми являются связи сдвига между ребром и плитой;

2) рассчитывают ребро из клееной древесины и железобетонную плиту как самостоятельные элементы на усилия, возникающие в ветвях балки вследствие упругой податливости связей сдвига между ними.

На первом этапе балку комбинированного сечения с абсолютно жесткими поперечными связями и упругоподатливыми связями сдвига рассчитывают методом начальных параметров в матричной форме. Определяют прогиб  $y$ , угол поворота  $\varphi$ , изгибающий момент  $M$ , поперечную силу  $Q$  в балке и крутящие моменты  $M_{тp}$  в связях. Расчетная схема приведена на рис. 2.

В случае единичных воздействий ( $P = 1, M = 1, \Theta = 1, \Delta = 1$ ) общее решение линейного дифференциального уравнения четвертого порядка изгиба неразрезной балки постоянного сечения на упругоповорачивающихся опорах может быть представлено в виде, приведенном в таблице [5].

В таблице приняты следующие обозначения:

$y_{ki}, \varphi_{ki}, M_{ki}, Q_{ki}$  — соответственно прогиб, угол поворота, изгибающий момент и поперечная сила на опоре  $K$  от внешних воздейст-

Влияние сосредоточенных воздействий				
Общая часть уравнений	P = 1			
	M = 1	Θ = 1	Δ = 1	
1	2	3	4	5
$y_{ki} = y_{0i}A_k + \varphi_{0i}B_k + M_{0i}C_k - Q_{0i}D_k$	$+\sum_{i=0}^n D_{k-i}$	$-\sum_{i=0}^n C_{k-i}$	$-\sum_{i=0}^n B_{k-i}$	$+\sum_{i=0}^n A_{k-i}$
$\varphi_{ki} = \varphi_{0i}A'_k - M_{0i}B'_k - Q_{0i}C'_k - y_{0i}D'_k$	$+\sum_{i=0}^n C'_{k-i}$	$-\sum_{i=0}^n B'_{k-i}$	$-\sum_{i=0}^n A'_{k-i}$	$-\sum_{i=0}^n D'_{k-i}$
$M_{ki} = -M_{0i}A''_k + Q_{0i}B''_k + y_{0i}C''_k + \varphi_{0i}D''_k$	$-\sum_{i=0}^n B''_{k-i}$	$+\sum_{i=0}^n A''_{k-i}$	$-\sum_{i=0}^n D''_{k-i}$	$+\sum_{i=0}^n C''_{k-i}$
$Q_{ki} = Q_{0i}A'''_k + y_{0i}B'''_k + \varphi_{0i}C'''_k + M_{0i}D'''_k$	$-\sum_{i=0}^n A'''_{k-i}$	$-\sum_{i=0}^n D'''_{k-i}$	$-\sum_{i=0}^n C'''_{k-i}$	$+\sum_{i=0}^n B'''_{k-i}$

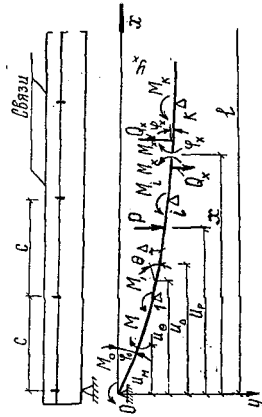


Рис. 2. Расчетная схема балки комбинированного сечения с упругоподатливыми связями между ветвями как многопролетной неразрезной балки на упругоподатливых опорах

$y_{0i}, \varphi_{0i}, M_{0i}, Q_{0i}$  — вий  $P = 1, M = 1, \Theta = 1, \Delta = 1$  на опоре  $i$ ;

$A, B, C, D$  (с индексами) — те же величины на опоре 0, принимаемой за начальную; т. е. начальные параметры, играющие роль постоянных интегрирования в общем интеграле; функции влияния начальных параметров и сосредоточенных воздействий на прогиб  $y$ , угол поворота  $\varphi$ , изгибающий момент  $M$  и поперечную силу  $Q$  на опорах  $K - i$  и  $K$ .

Выражения для функций влияния приведены в работе [5] и программе «COMBY LV».

Уравнения для  $y, \varphi, M, Q$  для единичных усилий и воздействий в матричной форме имеют вид ( $n = K$ )

$$\vec{y}_n = \begin{pmatrix} y_{ni} \\ \varphi_{ni} \\ M_{ni} \\ Q_{ni} \end{pmatrix} = \begin{pmatrix} A_n & B_n & C_n & -D_n \\ -D'_n & A'_n & B'_n & -C'_n \\ C''_n & D''_n & -A''_n & B''_n \\ E'''_n & C'''_n & D'''_n & A'''_n \end{pmatrix} \times \begin{pmatrix} y_{0i} \\ \varphi_{0i} \\ M_{0i} \\ Q_{0i} \end{pmatrix} +$$

$$+ \begin{pmatrix} D_n & D_{n-1} & \dots & D_1 & D_0 \\ C'_n & C'_{n-1} & \dots & C'_1 & C'_0 \\ -B''_n & -B''_{n-1} & \dots & -B''_1 & -B''_0 \\ -A'''_n & -A'''_{n-1} & \dots & -A'''_1 & -A'''_0 \end{pmatrix} + \begin{pmatrix} -C_n & -C_{n-1} & \dots & -C_1 & -C_0 \\ -B'_n & -B'_{n-1} & \dots & -B'_1 & -B'_0 \\ A''_n & A''_{n-1} & \dots & A''_1 & A''_0 \\ -D'''_n & -D'''_{n-1} & \dots & -D'''_1 & -D'''_0 \end{pmatrix} +$$

$$+ \begin{pmatrix} -B_n & -B_{n-1} & \dots & -B_1 & -B_0 \\ -A'_n & -A'_{n-1} & \dots & -A'_1 & -A'_0 \\ -D''_n & -D''_{n-1} & \dots & -D''_1 & -D''_0 \\ -C'''_n & -C'''_{n-1} & \dots & -C'''_1 & -C'''_0 \end{pmatrix} + \begin{pmatrix} A_n & A_{n-1} & \dots & A_1 & A_0 \\ -D'_n & -D'_{n-1} & \dots & -D'_1 & -D'_0 \\ C''_n & C''_{n-1} & \dots & C''_1 & C''_0 \\ B'''_n & B'''_{n-1} & \dots & B'''_1 & B'''_0 \end{pmatrix} =$$

$$= \vec{\Phi} \vec{y}_0 + \Delta_P + \Delta_M + \Delta_\Theta + \Delta_\Delta, \quad (3)$$

где

$\vec{y}_n$  — вектор, определяющий параметры балки на  $n$ -й опоре;

$\Phi$  — матрица функций влияния начальных параметров на величины  $y, \varphi, M, Q$ ;

$\vec{y}_0$  — вектор начальных параметров для  $n$ -й опоры;

$\Delta_P, \Delta_M, \Delta_\Theta, \Delta_\Delta$  — матрицы  $\Delta$  функций влияния сосредоточенных воздействий на величины  $y, \varphi, M, Q$  при  $P = 1, M = 1, \Theta = 1, \Delta = 1$  соответственно.

Для одного единичного усилия и воздействия

$$\vec{y}_n = \vec{\Phi} \vec{y}_0 + \Delta. \quad (3')$$

Рассмотрим балку комбинированного сечения с  $n + 1$  нагельными соединениями. Начало поместим на левом конце неразрезной балки, тогда два из четырех начальных параметров будут заранее известны:

$$M_{0i} = -\mu \varphi_{0i}; \quad y_{0i} = 0. \quad (4)$$

Два других начальных параметра определим из условий для правого конца балки

$$M_{ni} = \mu \varphi_{ni}; \quad y_{ni} = 0, \quad (5)$$

где  $\mu$  — жесткость на кручение опоры (связи).

В практике расчетов возможны четыре случая воздействий на балку.

1. Груз  $P = 1$ . На основании таблицы (гр. 1 + гр. 2) и уравнений (3) — (5) имеем

$$\begin{pmatrix} M_{ni} \\ y_{ni} \end{pmatrix} = \begin{pmatrix} D''_n - A''_n & B''_n \\ B_n & C_n - D_n \end{pmatrix} \times \begin{pmatrix} \varphi_{0i} \\ \mu \varphi_{0i} \\ Q_{0i} \end{pmatrix} + \begin{pmatrix} -B''_n & -B''_{n-1} & \dots & -B''_1 & -B''_0 \\ D_n & D_{n-1} & \dots & D_1 & D_0 \end{pmatrix} =$$

$$= \begin{vmatrix} \mu & 0 \\ 0 & 1 \end{vmatrix} \times \left\{ \begin{vmatrix} A'_n B'_n - C'_n \\ 0 & 0 & 0 \end{vmatrix} \times \begin{vmatrix} \varphi_{0i} \\ Q_{0i} \end{vmatrix} + \begin{vmatrix} C'_n C'_{n-1} \dots C'_1 C'_0 \\ 0 & 0 & \dots & 0 & 0 \end{vmatrix} \right\}. \quad (6)$$

В работе [5] приведены для функций влияния

$$B''_n = B_n; \quad C''_n = C_n; \quad A''_n = A'_n; \quad C'''_n = C''_n; \quad D'''_n = D'_n; \quad A'''_n = A_n. \quad (7)$$

Проведя ряд преобразований уравнений (6) с учетом соотношений (7), получим выражения для определения начальных параметров  $\varphi_0$  и  $Q_0$

$$\begin{vmatrix} (D''_n - 2\mu A''_n - \mu^2 B''_n)(B_n + \mu C_n) \\ (B_n + \mu C_n) & -D_n \end{vmatrix} \times \begin{vmatrix} \varphi_{0i} \\ Q_{0i} \end{vmatrix} = \\ = \begin{vmatrix} (B_n + \mu C_n)(B_{n-1} + \mu C_{n-1}) \dots (B_1 + \mu C_1)(B_0 + \mu C_0) \\ -D_n & -D_{n-1} & \dots & -D_1 & -D_0 \end{vmatrix} \quad (8)$$

или

$$\vec{A}y_0 = \Delta^*_p. \quad (8')$$

В общем случае матрица неизвестных может иметь произвольный размер. Для случая груза  $P = 1$  обозначим ее через  $\Delta_{0P}$ . Тогда выражение (8) примет вид

$$A\Delta_{0P} = \Delta^*_p. \quad (8'')$$

Отсюда

$$\Delta_{0P} = A^{-1}\Delta^*_p. \quad (9)$$

Здесь

$$A^{-1} = \begin{vmatrix} (D''_n - 2\mu A''_n - \mu^2 B''_n)(B_n + \mu C_n) \\ (B_n + \mu C_n) & -D_n \end{vmatrix}^{-1}. \quad (10)$$

2. Нагрузка  $M = 1$ . Вывод расчетных формул аналогичен случаю 1. Решение системы уравнений для матриц линий влияния начальных параметров  $y_0$  и  $\varphi_0$  имеет вид

$$\Delta_{0M} = A^{-1}\Delta_M. \quad (11)$$

Здесь

$$\Delta_M = \begin{vmatrix} (-A'_n - \mu B'_n)(-A'_{n-1} - \mu B'_{n-1}) \dots (-A'_1 - \mu B'_1) \\ C_n & & C_{n-1} & \dots & C_1 \\ & & & & (-A'_0 - \mu B'_0) \\ & & & & C_0 \end{vmatrix}. \quad (12)$$

3. Воздействие  $\Theta = 1$ . Вывод расчетных формул аналогичен случаю 1. Решение системы:

$$\Delta_{0\Theta} = A^{-1}\Delta_\Theta. \quad (13)$$

Здесь

$$\Delta_{\theta} = \begin{vmatrix} (D''_n - \mu A'_n)(D''_{n-1} - \mu A'_{n-1}) \dots (D''_1 - \mu A'_1)(D''_0 - \mu A'_0) \\ B_n \quad B_{n-1} \quad \dots \quad B_1 \quad B_0 \end{vmatrix} \quad (14)$$

4. Воздействие  $\Delta = 1$ . Вывод расчетных формул аналогичен случаю 1. Решение системы:

$$\Lambda_{0\Delta} = A^{-1} \Delta_{\Delta} \quad (15)$$

Здесь

$$\Delta_{\Delta} = \begin{vmatrix} (C''_n - \mu D'_n)(-C''_{n-1} - \mu D'_{n-1}) \dots (-C''_1 - \mu D'_1)(-C''_0 - \mu D'_0) \\ -A_n \quad -A_{n-1} \quad \dots \quad -A_1 \quad -A_0 \end{vmatrix} \quad (16)$$

Ординаты линий влияния прогибов найдем из таблицы (гр. 1 + 2), выражений (3) — (5) и теоремы о взаимности перемещений  $y_{ik} = y_{ki}$ :

$$y_{ni} = \varphi_{0i} B_n + \mu \varphi_{0i} C_n - Q_{0i} D_n + \sum_{i=0}^n D_{n-i} \quad (17)$$

или

$$y_{ni} = \varphi_{0i} (B_n + \mu C_n) - Q_{0i} D_n + \sum_{i=0}^n D_{n-i} \quad (17')$$

Матрица линий влияния прогибов имеет вид

$$\Lambda_y = \begin{vmatrix} (B_0 + \mu C_0) & -D_0 \\ (B_1 + \mu C_1) & -D_1 \\ (B_2 + \mu C_2) & -D_2 \\ \dots & \dots \\ (B_{n-1} + \mu C_{n-1}) & -D_{n-1} \\ (B_n + \mu C_n) & -D_n \end{vmatrix} \times \Lambda_{0p} + \begin{vmatrix} D_0 & 0 & 0 & \dots & 0 & 0 \\ D_1 & D_0 & 0 & \dots & 0 & 0 \\ D_2 & D_1 & D_0 & \dots & 0 & 0 \\ \dots & \dots & \dots & \dots & \dots & \dots \\ D_{n-1} & D_{n-2} & D_{n-3} & \dots & D_0 & 0 \\ D_n & D_{n-1} & D_{n-2} & \dots & D_1 & D_0 \end{vmatrix} = \\ = \Phi_y \Lambda_{0p} + \Delta_{yp} \quad (18)$$

Ординаты линий влияния углов поворота получим из таблицы (гр. 1 + 3), выражений (3) — (5) и теоремы о взаимности работ  $\varphi_{ik} = y_{ki, M}$ :

$$\varphi_{ni} = \varphi_{0i} B_n + \mu \varphi_{0i} C_n - Q_{0i} D_n - \sum_{i=0}^n C_{n-i} \quad (19)$$

или

$$\varphi_{ni} = \varphi_{0i} (B_n + \mu C_n) - Q_{0i} D_n - \sum_{i=0}^n C_{n-i} \quad (19')$$

Матрица линий влияния углов поворота имеет вид

$$\Lambda_{\varphi} = \begin{vmatrix} (B_0 + \mu C_0) & -D_0 \\ (B_1 + \mu C_1) & -D_1 \\ (B_2 + \mu C_2) & -D_2 \\ \dots & \dots \\ (B_{n-1} + \mu C_{n-1}) & -D_{n-1} \\ (B_n + \mu C_n) & -D_n \end{vmatrix} \times \Lambda_{0M} - \begin{vmatrix} C_0 & 0 & 0 & \dots & 0 & 0 \\ C_1 & C_0 & 0 & \dots & 0 & 0 \\ C_2 & C_1 & C_0 & \dots & 0 & 0 \\ \dots & \dots & \dots & \dots & \dots & \dots \\ C_{n-1} & C_{n-2} & C_{n-3} & \dots & C_0 & 0 \\ C_n & C_{n-1} & C_{n-2} & \dots & C_1 & C_0 \end{vmatrix} = \\ = \Phi_y \Lambda_{0M} - \Delta_{yM} \quad (20)$$

Ординаты линий влияния опорных моментов в опорах-связях найдем из таблицы (гр. 1 + гр. 4), выражений (3) — (5) и зависимости  $M_{оп, ki} = y_{M, \Theta}$ :

$$M_{оп, ni} = \varphi_{0i} B_n + \mu \varphi_{0i} C_n - Q_{0i} D_n - \sum_{i=0}^n B_{n-i} \quad (21)$$

или

$$M_{оп, ni} = \varphi_{0i} (B_n + \mu C_n) - Q_{0i} D_n - \sum_{i=0}^n B_{n-i} \quad (21')$$

Матрица линий влияния опорных моментов имеет вид

$$\Lambda_M = \begin{vmatrix} (B_0 + \mu C_0) & -D_0 \\ (B_1 + \mu C_1) & -D_1 \\ (B_2 + \mu C_2) & -D_2 \\ \dots & \dots \\ (B_{n-1} + \mu C_{n-1}) & -D_{n-1} \\ (B_n + \mu C_n) & -D_n \end{vmatrix} \times \Lambda_{0\Theta} - \begin{vmatrix} B_0 & 0 & 0 & \dots & 0 & 0 \\ B_1 & B_0 & 0 & \dots & 0 & 0 \\ B_2 & B_1 & B_0 & \dots & 0 & 0 \\ \dots & \dots & \dots & \dots & \dots & \dots \\ B_{n-1} & B_{n-2} & B_{n-3} & \dots & B_0 & 0 \\ B_n & B_{n-1} & B_{n-2} & \dots & B_1 & B_0 \end{vmatrix} = \\ = \Phi_y \Lambda_{0\Theta} - \Delta_{y\Theta} \quad (22)$$

Ординаты линий влияния поперечных сил в сечениях на опорах-связях получим из таблицы (гр. 1 + гр. 5), выражений (3) — (5) и зависимости  $Q_{оп, ki} = y_{ki, \Delta}$ :

$$Q_{оп, ni} = \varphi_{0i} B_n + \mu \varphi C_n - Q_{0i} D_n + \sum_{i=0}^n A_{n-i} \quad (23)$$

или

$$Q_{оп, ni} = \varphi_{0i} (B_n + \mu C_n) - Q_{0i} D_n + \sum_{i=0}^n A_{n-i} \quad (23')$$

Матрица линий влияния поперечных сил для сечений на опорах имеет вид

$$\Lambda_{\Theta} = \begin{vmatrix} (B_0 + \mu C_0) & -D_0 \\ (B_1 + \mu C_1) & -D_1 \\ (B_2 + \mu C_2) & -D_2 \\ \dots & \dots \\ (B_{n-1} + \mu C_{n-1}) & -D_{n-1} \\ (B_n + \mu C_n) & -D_n \end{vmatrix} \times \Lambda_{0\Delta} + \begin{vmatrix} A_0 & 0 & 0 & \dots & 0 & 0 \\ A_1 & A_0 & 0 & \dots & 0 & 0 \\ A_2 & A_1 & A_0 & \dots & 0 & 0 \\ \dots & \dots & \dots & \dots & \dots & \dots \\ A_{n-1} & A_{n-2} & A_{n-3} & \dots & A_0 & 0 \\ A_n & A_{n-1} & A_{n-2} & \dots & A_1 & A_0 \end{vmatrix} = \\ = \Phi_y \Lambda_{0\Delta} + \Delta_{y\Delta} \quad (24)$$

Выражение (24) позволяет определить ординаты правой ветви линии влияния поперечной силы для расчетного сечения. Матрицу для левой ветви  $\Lambda'_{\Theta}$  получим, вычтя из ординат поперечной силы в выражении (24) единичную матрицу  $E$ :

$$\Lambda'_{\Theta} = \Lambda_{\Theta} - E \quad (25)$$

Ординаты линий влияния крутящих моментов в связях найдем из зависимости  $M_{кр, ki} = \mu y_{ki, M}$  ( $\mu$  — жесткость опор-связей на кручение).